

地震時の斜面の運動に関する一考察

東大工学部 正員 石原研而

軟弱地盤上に作られる鉄道や道路の盛土は常時には安定であるが、地震によって崩かざすことが多い。特に梅雨期や颱風期に大地震があると盛土や地盤の土は飽和状態に近くなっているので、すべりの危険性は増加することになる。そこで飽和土から成る軟弱地盤上の盛土が地震によってすべり出した時の変位を求める問題について考えてみることにする。すべりがまさしく生じるとする時の加速度は限界加速度と呼ばれるが、これを与えられた盛土について求めてみると、N.M. Newmark⁽¹⁾の提案した考え方によると、地震時のすべり土塊の変位量を大体推定できると考えられる。この考え方従うと、具体的な斜面について、いかに限界加速度を求めるかということが最も重要な問題となってくる。

1. 振動時の土の強度

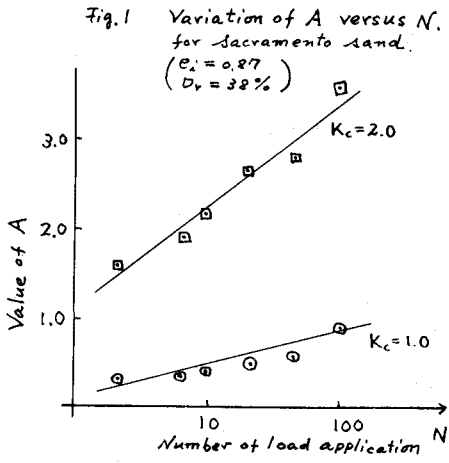
非等方圧密した後で非排水状態で三軸振動試験を行った結果が K.L. Lee-H.B. Seed⁽²⁾によって報告されているが、この種の実験結果より N 回載荷した後の強度 C_N は次式で与えられる。

$$C_N = \frac{1 + (K_c - 1) A_N}{1 + (K_c - 1) A_N} \cdot \frac{(K_c - 1)(K_c + 1)}{2\sqrt{K_c}(K_c - 1)} \cdot \bar{\tau}_{fc} \quad \dots \dots \quad (1)$$

ただし、 K_c は圧密時の主応力比 $K_c = \bar{\sigma}_c / \bar{\sigma}_{sc}$ 、 A_N は porewater pressure coefficient、 $K_c = \frac{1 + \text{amp}}{1 - \text{amp}}$ (amp は排水試験その他によってえられる有効応力に関する内部マツツ角)、 $\bar{\tau}_{fc}$ はすべり面上に作用する圧密時の剪断力、とする。式(1)は排水試験からえられたモードの破壊線で Cohesion Intercept が 0 にならざる正規圧密土に対してのみ成立つものである。小さい動的荷重で何度も非排水状態で加えていくと次第に間隙水压が上昇してくるので A_N の値は荷重回数 N と共に増加していく。ゆえに Sacramento sand ($e_s = 0.87$, $D_r = 38\%$) に対して K.L. Lee-H.B. Seed⁽²⁾ がえた実験結果を整理して A_N の値を N に対してプロットすると図1のようになる。この図より A_N の値が圧密時の主応力比 K_c によって大きく変わることが知れる。

2. すべりの計算

以上より強度に関する考え方従うと、動的荷重が加わった時の強度は、圧密時(常時)にすべり面上に作用している剪断力 $\bar{\tau}_{fc}$ に比例して増大することになる。この剪断力を求めたためには、まず常時にあける安走計算も行う必要がある。こう計算には long term stability を規定する内部マツツ角 ϕ_c を用いた。こうして求めた $\bar{\tau}_{fc}$ を(1)式に用いて動的強度 C_N を求めよ。そして、この C_N を用いて最後に中=0 analysis を行って限界加速度を求めよ。この際、 C_N は荷重の回数と共に変化するから N を変えて何度も計算をする必要



がある。以上の参考は J. Low-Karafiat⁽³⁾がアースダムの drawdown の安全計算に関する提案したものと軸を一にするものである。さて、次にどうな公式を用いて安全計算をするかが問題になるが常時の計算に対しては、円形すべり面について Bishop が提案した式を用いるとのとする。限界加速度 a を求める時は Bishop の式を modify した式を用いるとのとする。

$$\frac{a/g}{g} = \frac{\sum C_{Ni} - w_g'}{w_a'} \quad \dots \dots \quad (2)$$

ただし、 C_{Ni} は各層の slice に関する初期強度を表す。

又、 $w_a' = \sum_i \Delta \bar{w}_i (\cos \alpha_i - \frac{1}{2} \bar{y}_{hi}/R)$, $w_g' = \sum_i \Delta \bar{w}_i \sin \alpha_i$; $\Delta \bar{w}_i = \Delta w_i/H$, $\bar{y}_{hi} = y_{hi}/H$, $R = R/H$, とする。(その他の記号に関する説明は図 2 参照)。

以上のように電子計算機で計算した一例を示すと図 3 のようになる。地盤は図 1 のような特性を有する飽和砂であると仮定し、盛土材料の A_N は 0.7 として振動と共に変化しないものと仮定した。盛土の断面は図 2 のごくごくあり地下水位は盛土の底面にあると仮定した。計算に用いたその他の常数は図 2 に示してある。すべり内に中心点を水平方向に動かして計算をえらび $D = 1.1$ として、各水をもつすべり内に対応する限界加速度を荷重の回数に対してプロットしたものが図 3 である。図の右方、表に中心点の位置の座標 \bar{x}_a と常時の安全計算からえた安全率 N_s が示してある。

図 3 よりまず限界加速度は荷重の回数と共に減少していくことがわかる。荷重の回数の増加に伴って A_N が小さくなり最後には肉薄化水压が圧密時の静的荷重に等しくなり液化化がおこり、この時限界加速度が 0 となつて大きさを slumping や blow が発生することになる。以上の例では最小の限界加速度を与えたすべり面に対する結果は示されてないが、実際には数多くの試算を行つて最小の限界加速度を与えたすべり面を求める必要がある。

文献表

- (1) N. M. Newmark: "Effects of Earthquakes on Dams and Embankments," Geotechnique No. 1 (1965)
- (2) K. L. Lee & H. B. Seed: "Dynamic strength of Anisotropically Consolidated Sand," Proc. A.S.C.E. S.M.S. (1967)
- (3) J. Low & L. Karafiat: "Stability of Earth Dams upon Drawdown," Proc. 1st Pan American Conf. of Soil Mech. Vol. II. (1960)

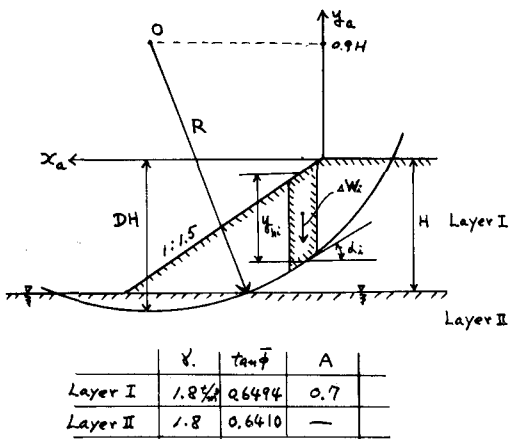


Fig. 2. Computation of stability of earth fill, founded on saturated sand.

